

# Laboratorium 3:

## Porównanie implementacji algorytmu Dijkstry

Algorytmy Optymalizacji Dyskretnej  
Sara Żyndul 279686

3 grudnia 2025

### 1 Opis implementacji i analiza złożoności

W ramach laboratorium zaimplementowano trzy warianty algorytmu wyznaczania najkrótszych ścieżek w grafie skierowanym z nieujemnymi wagami krawędzi. Poniżej przedstawiono szczegóły implementacyjne oraz analizę złożoności, gdzie  $n$  oznacza liczbę wierzchołków,  $m$  liczbę krawędzi, a  $C$  maksymalną wagę krawędzi.

#### 1.1 Algorytm Dijkstry (Wariant podstawowy)

Wykorzystano standardową implementację algorytmu Dijkstry z użyciem kolejki priorytetowej typu Min-Heap.

- **Struktura danych:** Użyto kontenera `std::priority_queue` z biblioteki standardowej C++, przechowującego pary (`dystans`, `wierzchołek`).
- **Implementacja:** Zastosowano podejście *lazy deletion*. Zamiast kosztownej operacji `decrease-key`, nowe, lepsze odległości są dodawane do kolejki jako nowe elementy. Podczas zdejmowania elementu z wierzchołka kopca sprawdzane jest, czy pobrany dystans jest aktualny (tj. równy `dist[u]`). Jeśli nie, element jest ignorowany.
- **Złożoność czasowa:**  $\mathcal{O}(m \log n)$ . W najgorszym przypadku do kolejki może trafić  $m$  elementów (każda relaksacja krawędzi), a operacje na kopcu zajmują czas logarytmiczny.
- **Złożoność pamięciowa:**  $\mathcal{O}(n + m)$  (graf + tablica dystansów + kolejka).

#### 1.2 Algorytm Diala

Algorytm ten jest optymalizacją Dijkstry dla grafów o całkowitych, niewielkich wagach krawędzi.

- **Struktura danych:** Zastosowano tablicę kubełków (`buckets`) zaimplementowaną jako `std::vector<std::vector<int>`. Rozmiar tablicy wynosi  $C + 1$ .
- **Implementacja:** Wykorzystano bufor cykliczny. Wierzchołek o dystansie  $d$  trafia do kubełka o indeksie  $d \bmod (C + 1)$ . Algorytm iteruje po kubełkach używając wskaźnika `current_dist`. Podobnie jak w Dijkstrze, zastosowano mechanizm *lazy deletion* dla wierzchołków, które zostały zaktualizowane po wcześniejszym dodaniu do kubełka.
- **Złożoność czasowa:** Teoretycznie  $\mathcal{O}(m + D)$ , gdzie  $D$  to maksymalny dystans. W pesymistycznym wariancie (duże odległości między wierzchołkami) algorytm wykonuje wiele pustych przebiegów pętli, co daje złożoność zależną od sumy wag. Ogólnie  $D < nC$ , więc pesymistyczna złożoność to  $\mathcal{O}(m + nC)$ .
- **Złożoność pamięciowa:**  $\mathcal{O}(n + C)$ . Wymaga alokacji pamięci zależnej liniowo od maksymalnej wagi krawędzi.

### 1.3 Algorytm Radix Heap

Algorytm ten łączy zalety Dijkstry i Diala, wykorzystując własności reprezentacji binarnej liczb.

- **Struktura danych:** Użyto statycznej liczby kubelków (64 dla 64-bitowego typu long long), gdzie zakresy kubelków rosną wykładniczo.
- **Implementacja:** Indeks kubelka wyznaczany jest na podstawie pozycji najbardziej znaczącego różniącego się bitu (MSB) między ostatnio zdjętym dystansem a dystansem kandydata. Do szybkiego obliczania MSB wykorzystano funkcję wbudowaną kompilatora `__builtin_clzll` (Count Leading Zeros). Zastosowano mechanizm redystrybucji elementów z wyższych kubelków do niższych.
- **Złożoność czasowa:**  $\mathcal{O}(m + n \log C)$ . Operacje bitowe są wykonywane w czasie stałym, a każdy element jest przenoszony między kubelkami najwyżej  $\log C$  razy.
- **Złożoność pamięciowa:**  $\mathcal{O}(n + m)$ . Niezależna liniowo od wartości  $C$ .

## 2 Wyniki eksperymentów

### 2.1 Poprawność i długości ścieżek

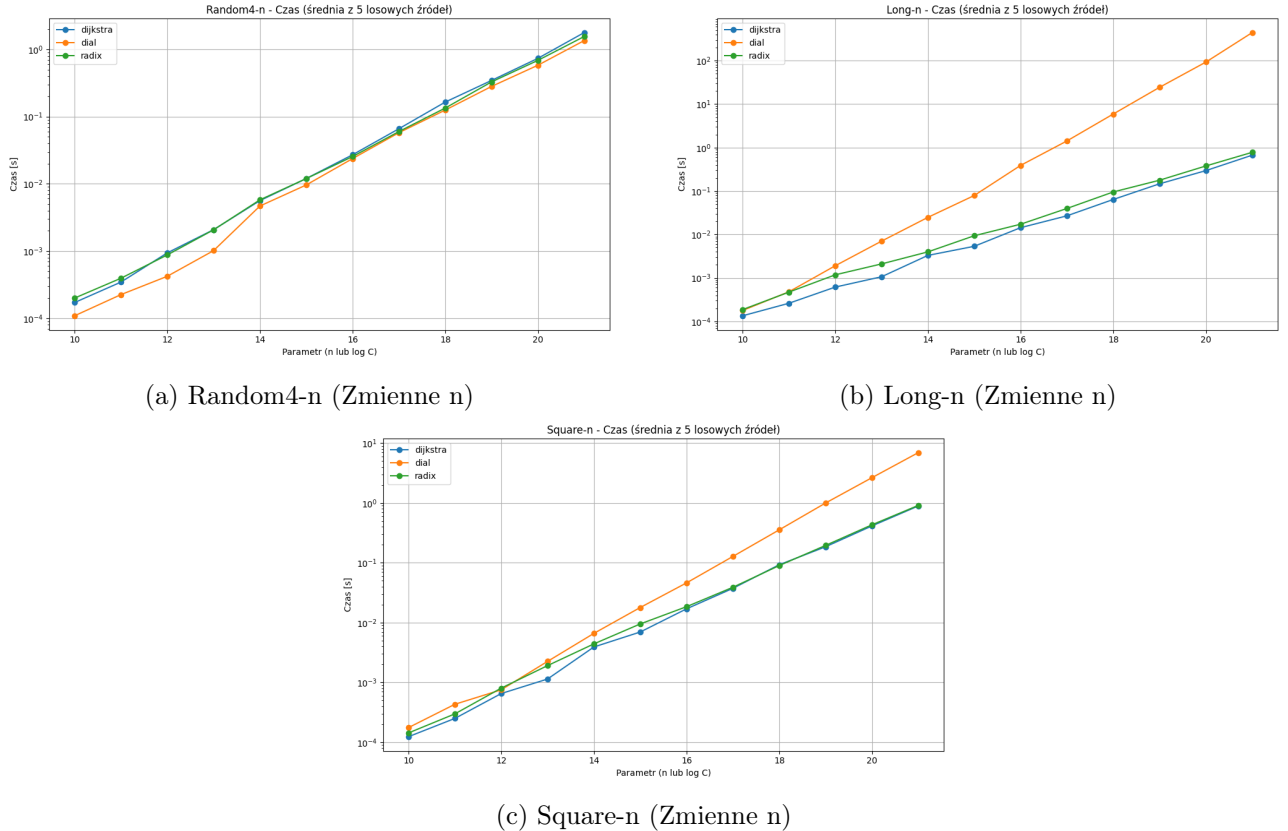
Tabela 1 przedstawia wyniki dla największych instancji testowych z każdej rodziny. Porównano długości znalezionych ścieżek między wierzchołkiem o najmniejszym i największym indeksie (Min-Max) oraz dla 4 losowych par.

Tabela 1: Długości najkrótszych ścieżek dla pierwszego i ostatniego wierzchołka. Oznaczenie **MLE** (Memory Limit Exceeded) wskazuje błąd braku pamięci dla algorytmu Diala. W każdym z tych trzech przypadków masymalna waga to około  $1000000000 = 10^9$  co wymagałoby alokacji 24 GB pamięci RAM.

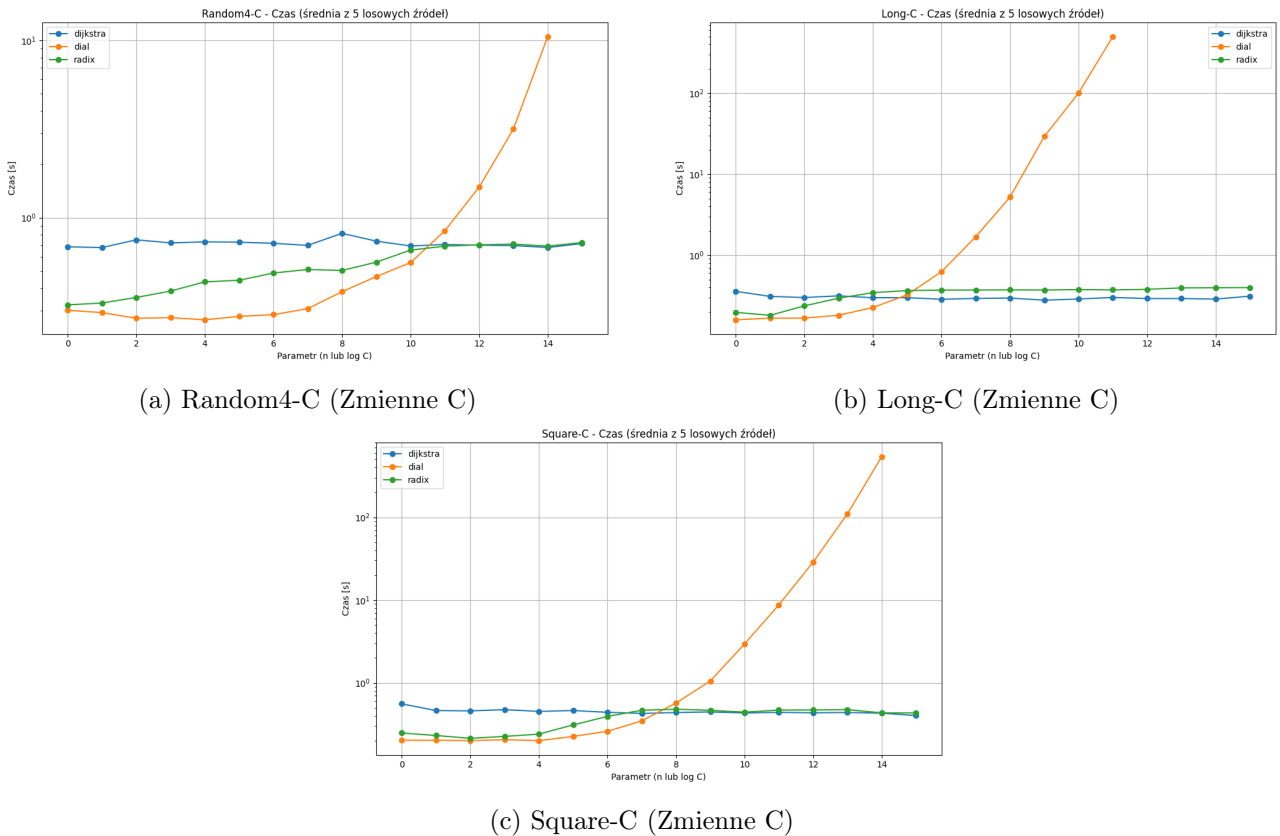
| Rodzina    | Instancja      | Dijkstra / Radix  |  | Dial              |
|------------|----------------|---|--|-------------------|
| Random4-n  | Random4-n.21.0 | MM: 9051281      Rand: 8021753, 7962615, 11520120, 7944933                              |  | Wyniki zgodne     |
| Random4-C  | Random4-C.15.0 | MM: 3471241820      Rand: 4303132782, 3285449479, 3923515585, 4834216768                |  | MLE (Brak wyniku) |
| Long-n     | Long-n.21.0    | MM: 31336751771      Rand: 4137488546, 20534900152, 46406387800, 63037605316            |  | Wyniki zgodne     |
| Square-n   | Square-n.21.0  | MM: 714640488      Rand: 627400780, 773584334, 820931845, 312060678                     |  | Wyniki zgodne     |
| Long-C     | Long-C.15.0    | MM: 1308259008765      Rand: 1122339012956, 6279817984398, 629828042459, 10523381128436 |  | MLE (Brak wyniku) |
| Square-C   | Square-C.15.0  | MM: 122219500320      Rand: 109667679059, 239894218968, 183454171539, 261947371811      |  | MLE (Brak wyniku) |
| USA-road-d | USA-road-d.W   | MM: 13133160      Rand: 8070957, 3015305, 5366628, 12272763                             |  | Wyniki zgodne     |

### 2.2 Wykresy czasu działania

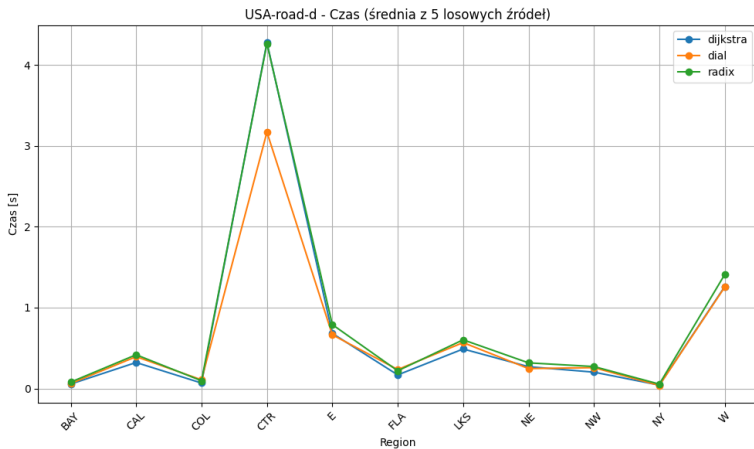
Poniższe wykresy prezentują zależność czasu działania od parametru generatora (liczba wierzchołków  $n$  lub logarytm z maksymalnej wagi  $C$ ). Dla każdego przypadku przedstawiono średni czas dla 5 losowych źródeł.



Rysunek 1: Czas działania dla rodzin ze zmienną liczbą wierzchołków.



Rysunek 2: Czas działania dla rodzin ze zmienną maksymalną wagą krawędzi ( $C$ ). Oś Y logarytmiczna.



Rysunek 3: Czas działania dla rzeczywistych sieci drogowych (USA-road-d).

### 3 interpretacja wyników

Przeprowadzone eksperymenty potwierdzają teoretyczne różnice w złożoności zaimplementowanych algorytmów.

1. **Wpływ maksymalnej wagi ( $C$ ):** Jest to najbardziej widoczna różnica. Dla rodzin grafów, w których parametr  $C$  rósł wykładniczo (Random4-C, Long-C, Square-C):

- Algorytmy **Dijkstry** i **Radix Heap** wykazały się dużą stabilnością (wykresy płaskie). Czas działania Dijkstry jest niezależny od  $C$ , a Radix Heap zależy logarytmicznie ( $\log C$ ), co przy rozmiarze grafów jest wartością pomijalną.

- Algorytm **Diala** okazał się całkowicie nieefektywny dla dużych wag. Jego złożoność pamięciowa  $\mathcal{O}(n + C)$  spowodowała wyczerpanie dostępnej pamięci RAM (błąd `std::bad_alloc`) dla instancji o  $C > 300 \cdot 10^6$ . Na wykresach widoczny jest wykładniczy wzrost czasu przed wystąpieniem błędu.
2. **Wpływ liczby wierzchołków ( $n$ ):** Dla rodzin ze zmiennym  $n$  i stałym, małym  $C$ , wszystkie algorytmy zachowują się stabilnie. Algorytm Radix Heap często osiągał czasy zbliżone lub lepsze od Dijkstry dzięki uniknięciu kosztownych operacji na kopcu (sortowania), zastępując je szybkimi operacjami bitowymi.
  3. **Struktura grafu:** W przypadku grafów typu *Long-n* (długie łańcuchy) i *Square-n* (siatki), algorytm Diala działał wolniej niż oczekiwano (czasem gorzej od Dijkstry). Wynika to z faktu, że przy rzadkich grafach o dużej średnicy, algorytm traci czas na iterowanie po pustych kubelkach w buforze cyklicznym.
  4. **Podsumowanie:** Algorytm Dijkstry z kolejką priorytetową jest najbardziej uniwersalnym rozwiązaniem, odpornym na charakterystykę wag. Radix Heap stanowi doskonałą alternatywę dla wag całkowitych, oferując wydajność zbliżoną do liniowej. Algorytm Diala ma wąskie zastosowanie – tylko do grafów o małych, całkowitych wagach.